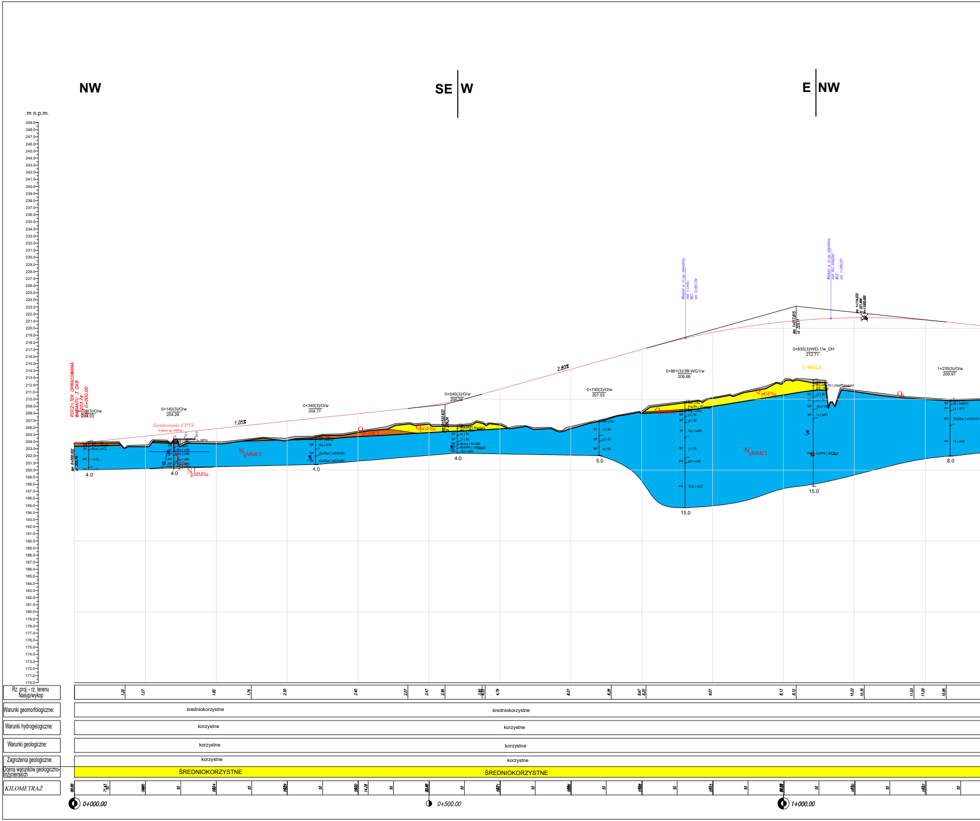
NW
SE
W
E
NW
m n.p.m.
249.0
170.0
POCZĄTEK OPRACOWANIA WARIANTU 3 DK9
0+000.00
203.74
0+020(3)/O/w 204.03
0+140(3)/O/w 204.28
Sondowanie CPTU
0+340(3)/O/w 204.77
0+540(3)/O/w 206.36
0+740(3)/O/w 207.03
0+861(3)/3B-WG1/w 209.68
0+835(3)/WD-1/w_DH 212.71
1+042(3)
1+235(3)/O/w 209.97
1.05%
2.80%
NgMMCl
NgMMSa
QpGFSa
QpGMCl
Qh
4.0
4.0
4.0
4.0
5.0
15.0
15.0
8.0
Rz. proj. - rz. terenu Nasyp/wykop
Warunki geomorfologiczne:
średniokorzystne
średniokorzystne
Warunki hydrogeologiczne:
korzystne
korzystne
Warunki geologiczne:
korzystne
korzystne
Zagrożenia geologiczne:
korzystne
korzystne
Ocena warunków geologiczno-inżynierskich
ŚREDNIOKORZYSTNE
ŚREDNIOKORZYSTNE
KILOMETRAŻ
0+000.00
0+500.00
1+000.00

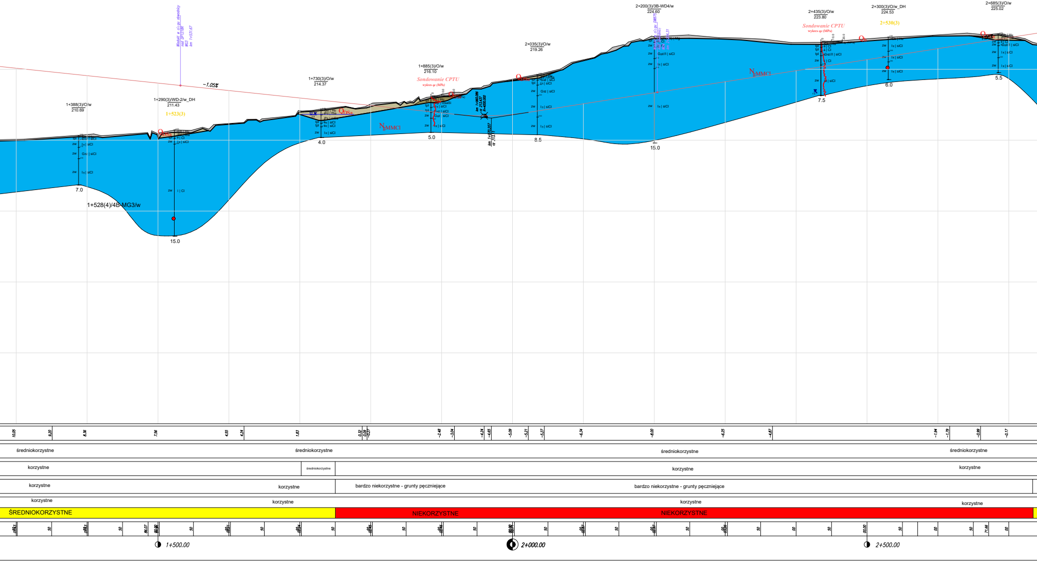
Wiadukt w ciągu obwodnicy nad DP1218R WG3 km 1+531.67
-1.05%
1+388(3)/O/w
210.69
1+290(3)/WD-2/w_DH
211.43
1+523(3)
1+730(3)/O/w
214.37
1+885(3)/O/w
216.10
Sondowanie CPTU
wykres qc (MPa)
2+035(3)/O/w
219.26
2+200(3)/3B-WD4/w
224.60
2+435(3)/O/w
223.80
2+300(3)/O/w_DH
224.53
2+530(3)
2+685(3)/O/w
225.02
Q_{DSa}
Q_h
N_{gMMCl}
km 1+960.086
rz 213.437
R=4000.000
km 1+970.207
rz 213.1
7.0
15.0
4.0
5.0
8.5
15.0
7.5
6.0
5.5
1+528(4)/4B-MG3/w
zw
tpl
I π | siCl
G π | siCl
I | Cl
Gπz | siCl
Gπz/I | siCl
Pd | fSa
Hu
10.05
9.20
8.36
7.56
4.55
4.24
1.83
0.32
0.09
-0.27
-2.48
-3.04
-4.24
-4.65
-5.09
-5.21
-5.27
-6.34
-8.00
-6.25
-4.87
-1.94
-1.79
-0.99
-0.17
średniokorzystne
średniokorzystne
średniokorzystne
średniokorzystne
korzystne
średniokorzystne
korzystne
korzystne
korzystne
korzystne
bardzo niekorzystne - grunty pęczniejące
bardzo niekorzystne - grunty pęczniejące
korzystne
korzystne
korzystne
korzystne
ŚREDNIOKORZYSTNE
NIEKORZYSTNE
NIEKORZYSTNE
50
86.07
71.66
00
1+500.00
2+000.00
2+500.00

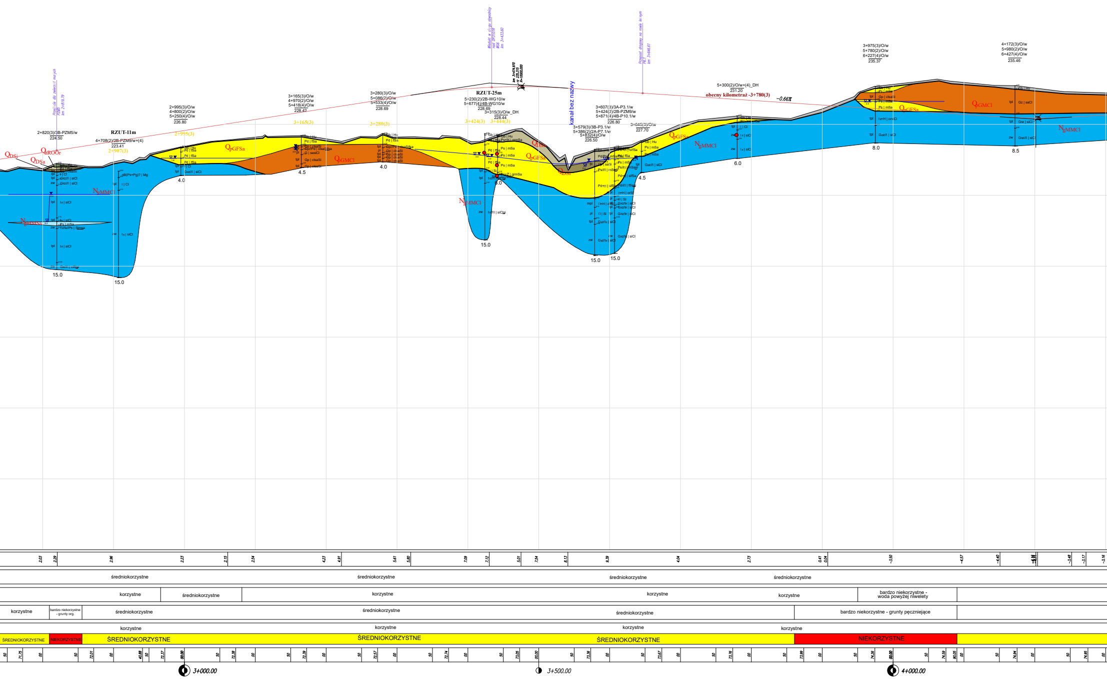
Przejście dla zwierząt małych
PZM5
km 2+819.79
2+820(3)/3B-PZM5/w
224.50
RZUT-11m
4+708(2)/2B-PZM9/w+(4)
223.41
2+907(3)
2+995(3)/O/w
4+800(2)/O/w
5+250(4)/O/w
226.80
2+995(3)
3+165(3)/O/w
4+970(2)/O/w
5+418(4)/O/w
228.42
3+165(3)
3+280(3)/O/w
5+086(2)/O/w
5+533(4)/O/w
228.69
3+280(3)
Wiadukt w ciągu obwodnicy
nad DP3707R
WG6
km 3+433.60
RZUT-25m
5+230(2)/2B-WG10/w
5+677(4)/4B-WG10/w
228.69
3+315(3)/O/w_DH
228.44
3+424(3)
3+444(3)
km 3+474.970
rz 235.315
R=10000.000
kanał bez nazwy
3+579(3)/3B-P3.1/w
5+386(2)/2A-P7.1/w
5+832(4)/O/w
226.50
3+607(3)/3A-P3.1/w
5+424(2)/2B-PZM9/w
5+871(4)/4B-P10.1/w
226.80
Przepust drogowy na rowie leśnym
P6.1
km 3+646.61
3+645(3)/O/w
227.70
5+300(2)/O/w+(4)_DH
231.20
obecny kilometraż -3+780(3)
−0.66%
3+975(3)/O/w
5+780(2)/O/w
6+227(4)/O/w
235.37
4+172(3)/O/w
5+980(2)/O/w
6+427(4)/O/w
235.46
QDSi
QDSa
QhROOr
QpGFSa
QpGMCl
NgMMCl
NgMMSa
Gb | Hu
Pd | fSa
Ps | mSa
Gp | clsaSi
Gp//Pd | clsaSifsa
G | sasiCl
I | Cl
Grz//I | siCl
Iπ | siCl
Ps | mSa
pB(Ps+Pg)? | Mg
Ps+H | grmSa
Ps+Ż | grmSa
Pd | saSi
Ps//I | mSasi
Pd+I | sifSa
Pd//I | fSasi
I+H | orSi
Gz | saCl
Iπ+H | orsiCl
tpl
pl
zw
mpl
4.0
4.5
6.0
8.0
8.5
15.0
2.03
2.29
2.96
2.23
2.15
2.54
4.23
4.91
5.61
5.80
7.09
7.12
5.01
7.54
8.13
9.39
4.04
2.73
0.41
0.04
−3.50
−4.57
−4.40
−3.48
−3.17
−3.16
średniokorzystne
średniokorzystne
średniokorzystne
średniokorzystne
korzystne
średniokorzystne
korzystne
korzystne
korzystne
bardzo niekorzystne - woda powyżej niwelety
korzystne
bardzo niekorzystne - grunty org.
średniokorzystne
średniokorzystne
średniokorzystne
bardzo niekorzystne - grunty pęczniejące
korzystne
korzystne
korzystne
korzystne
ŚREDNIOKORZYSTNE
NIEKORZYSTNE
ŚREDNIOKORZYSTNE
ŚREDNIOKORZYSTNE
ŚREDNIOKORZYSTNE
NIEKORZYSTNE
50
71.75
00
50
72.01
00
40.88
50
72.37
00.00
50
72.38
00
50
72.39
00
50
72.57
00
50
72.74
00
50
73.05
00.00
50
73.36
00
50
73.67
00
50
73.76
00
50
73.99
00
50
74.26
00.00
50
74.59
90.05
00
50
74.94
00
50
74.95
00
3+000.00
3+500.00
4+000.00

Widok profilu drogi Wariant 3
Skala 1:200/2000
KM 0+000.00 – 8+794.41

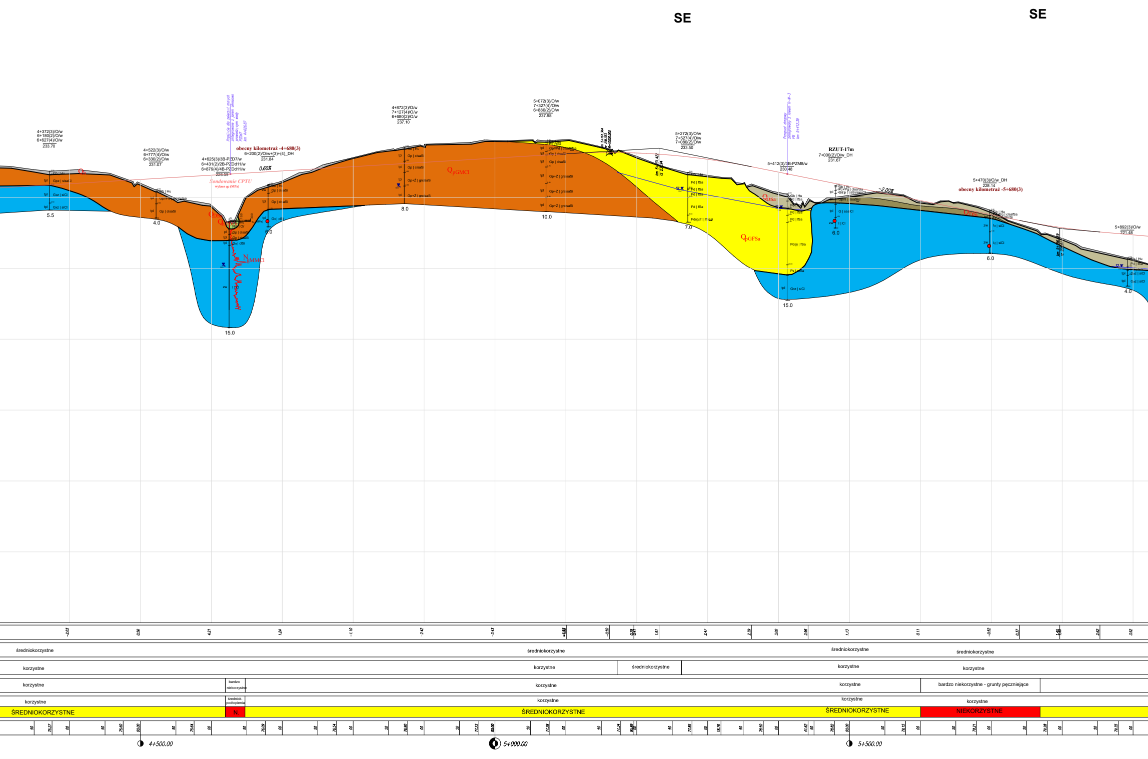
SE
SE
4+372(3)/O/w
6+180(2)/O/w
6+627(4)/O/w
233.70
4+522(3)/O/w
6+777(4)/O/w
6+330(2)/O/w
231.07
Przej ście dla zwierzą t małych zintegrowane z jarem okresowo prowadzą cym wody PZDd7 km 4+626.87
obecny kilometraż -4+680(3)
6+200(2)/O/w+(3)+(4)_DH
231.84
4+625(3)/3B-PZD7/w
6+431(2)/2B-PZDd11/w
6+879(4)/4B-PZDd11/w
226.59
0.60%
Sondowanie CPTU
wykres qc (MPa)
4+872(3)/O/w
7+127(4)/O/w
6+680(2)/O/w
237.10
5+072(3)/O/w
7+327(4)/O/w
6+880(2)/O/w
237.98
km 5+161.384
rz 236.333
R=10000.000
5+272(3)/O/w
7+527(4)/O/w
7+080(2)/O/w
233.50
km 5+231.422
rz 235.94
Przepust drogowy zintegrowany z rowem R-III-3 P8 km 5+412.39
5+412(3)/3B-PZM8/w
230.48
RZUT-17m
7+000(2)/O/w_DH
231.67
-2.00%
5+470(3)/O/w_DH
228.14
obecny kilometraż -5+680(3)
5+892(3)/O/w
221.48
Qh
QpGMCl
QDSa
QpGFSa
QDSi
NgMMCl
Gb | Hu
Gpz | sisaCl
Gπz | siCl
Gp | clsaSi
Gp+Ż | grclsaSi
Gπ | clSi
Nm | Or
Pd | fSa
Pd(ε) | fSa
Ps | mSa
Gπz | siCl
G | sasiCl
I | Cl
Iε | siCl
Pd+Pg | clsafSa
tpl
pl
zw
5.5
4.0
15.0
6.0
8.0
10.0
7.0
15.0
6.0
6.0
4.0
-2.03
0.56
4.21
1.24
-1.10
-2.42
-2.43
-0.50
1.51
2.47
2.39
3.00
2.96
1.13
0.11
-0.52
0.37
2.62
3.52
średniokorzystne
średniokorzystne
średniokorzystne
średniokorzystne
korzystne
korzystne
średniokorzystne
korzystne
korzystne
korzystne
bardzo niekorzystne
korzystne
korzystne
bardzo niekorzystne - grunty pęczniejące
korzystne
średniok. podtopienia
korzystne
korzystne
korzystne
ŚREDNIOKORZYSTNE
N.
ŚREDNIOKORZYSTNE
ŚREDNIOKORZYSTNE
NIEKORZYSTNE
75.27
75.60
75.64
76.09
76.54
76.90
77.23
77.28
77.34
77.85
18.76
78.50
41.62
78.82
79.15
79.21
79.28
79.35
4+500.00
5+000.00
5+500.00

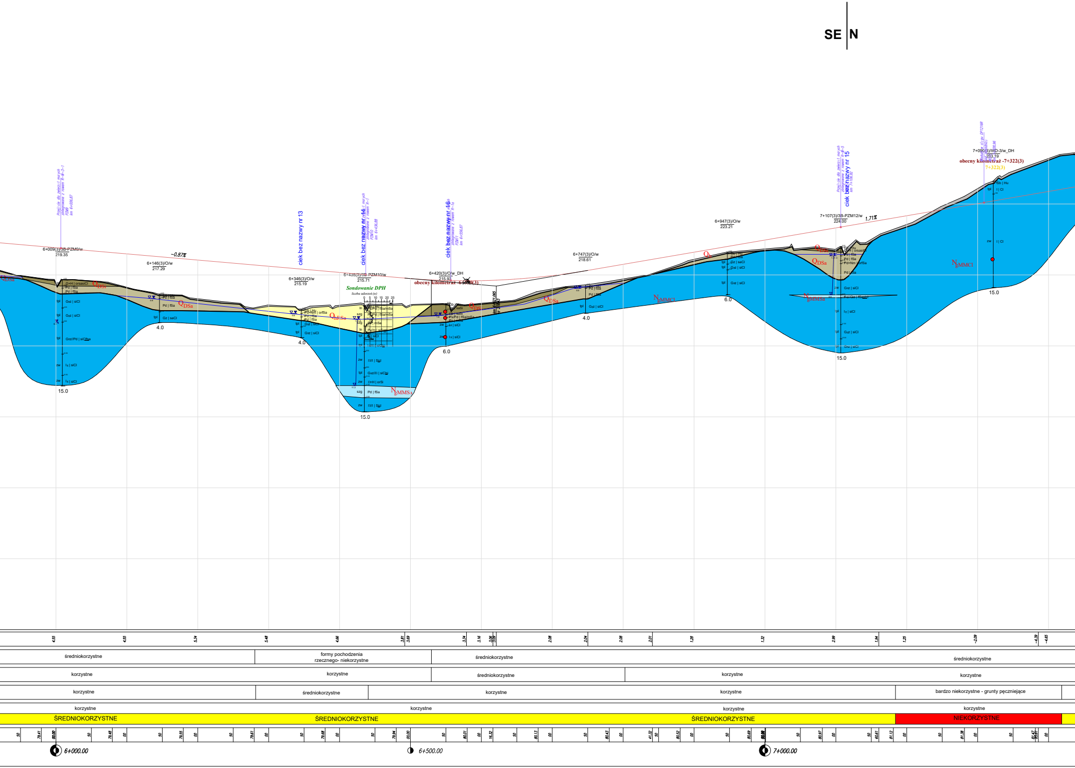
SE
N
Przejście dla zwierząt małych zintegrowane z rowem R-W-3-1 PZM9 km 6+006.87
6+009(3)/3B-PZM9/w
219.35
-0.87%
6+146(3)/O/w
217.29
ciek bez nazwy nr 13
6+346(3)/O/w
215.19
ciek bez nazwy nr 14
zintegrowane z rowem R-1 PZM10 km 6+436.88
6+435(3)/3B-PZM10/w
215.71
Sondowanie DPH
liczba uderzeń (n)
0 5 10 15 20 25
ciek bez nazwy nr 16
zintegrowane z rowem R-1a PZM11 km 6+556.87
6+420(3)/O/w_DH
215.93
obecny kilometraż -6+420(3)
km 6+521.065
6+747(3)/O/w
218.61
6+947(3)/O/w
223.21
Przejście dla zwierząt małych zintegrowane z rowem R-III-5 km 7+106.92
ciek bez nazwy nr 15
7+107(3)/3B-PZM12/w
224.00
1.71%
7+090(3)/WD-3/w_DH
233.19
obecny kilometraż -7+322(3)
7+322(3)
Przejście w ciągu DP1216R
Q_{DSa}
Q_{DSi}
Q_{hFSa}
Q_{DS}
Q_{h}
N_{gMMCl}
N_{gMMSa}
G+H | orsasiCl
Pd | fSa
Gz | siCl
Gz | saCl
Gz//Pd | siClfSa
Iz | siCl
Gb | Hu
Pd+Nm | orfSa
Ps/Pd | fSa/mSa
Pd | mSa
Gz | siCl
(I/I) | Sgl
Gsz//I | siClgl
(I+H) | orSi
Gz | saCl
Pd/Gz | fSasiCl
I | Cl
Gb | Hu
tpl
zw
szg
ln
4.0
15.0
6.0
4.0
15.0
6.0
4.0
15.0
15.0
4.55
4.55
5.34
5.48
4.66
3.81
3.69
3.34
3.16
3.06
3.09
2.08
2.04
2.08
2.01
1.28
1.32
2.99
1.94
1.25
-2.09
-4.39
-4.65
średniokorzystne
formy pochodzenia rzecznego- niekorzystne
średniokorzystne
średniokorzystne
korzystne
korzystne
średniokorzystne
korzystne
korzystne
korzystne
średniokorzystne
korzystne
korzystne
bardzo niekorzystne - grunty pęczniejące
korzystne
korzystne
korzystne
korzystne
ŚREDNIOKORZYSTNE
ŚREDNIOKORZYSTNE
ŚREDNIOKORZYSTNE
NIEKORZYSTNE
50
79.41
00.00
50
79.48
00
50
79.55
00
50
79.61
00
50
79.68
00
50
79.94
00.00
50
80.01
00
16.32
50
80.13
00
50
80.43
00
41.32
50
80.52
00
50
80.69
50
80.97
00
50
60.61
81.12
00
50
81.38
00
50
81.47
00
6+000.00
6+500.00
7+000.00

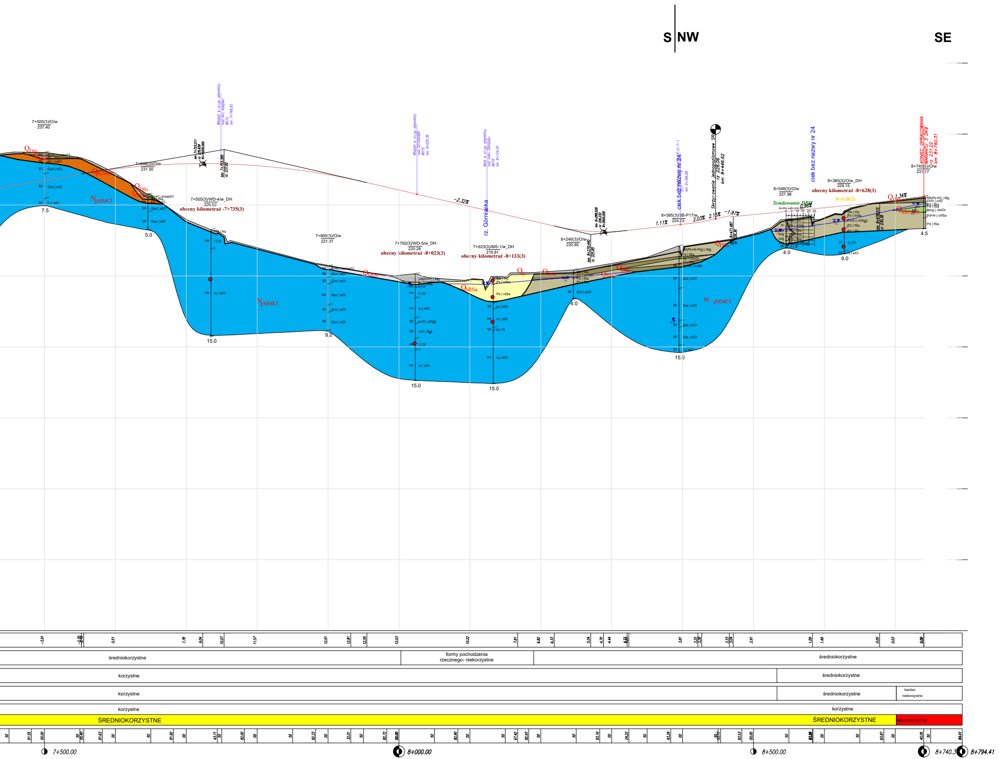
S NW
SE
7+500(3)/O/w
237.40
7+646(3)/O/w
231.50
7+505(3)/WD-4/w_DH
226.52
obecny kilometraż -7+735(3)
Wiadukt w ciągu obwodnicy nad linią kolejową WG14 km 7+748.92
Wiadukt w ciągu obwodnicy nad DST/DR/MER WG15 km 8+025.36
Most w ciągu obwodnicy nad rzeką Górnianka MG16 km 8+124.24
rz. Górnianka
-2.32%
7+900(3)/O/w
221.37
7+792(3)/WD-5/w_DH
220.28
obecny kilometraż -8+023(3)
7+923(3)/MS-1/w_DH
219.81
obecny kilometraż -8+133(3)
8+246(3)/O/w
220.85
8+395(3)/3B-P17/w
224.23
ciek bez nazwy nr 24
Skrzyżowanie jednopoziomowe SR rz 228.06 km 8+446.62
1.11%
2.03%
2.15%
-1.97%
8+546(3)/O/w
227.98
Sondowanie DPH
0.98%
8+385(3)/O/w_DH
229.15
obecny kilometraż -8+628(3)
8+628(3)
ciek bez nazwy nr 24
1.34%
8+740(3)/O/w
231.17
KONIEC OPRACOWANIA WARIANTU 3 DK9 rz 231.22 km 8+740.31
QDSi
QpGMCl
NgMMCl
QhRSi
QhRSa
Qh
QDSa
QhROOR
7.5
5.0
15.0
9.0
15.0
15.0
4.0
15.0
4.0
6.0
4.5
średniokorzystne
formy pochodzenia rzecznego- niekorzystne
średniokorzystne
korzystne
średniokorzystne
korzystne
średniokorzystne
bardzo niekorzystne
korzystne
korzystne
ŚREDNIOKORZYSTNE
ŚREDNIOKORZYSTNE
NIEKORZYSTNE
7+500.00
8+000.00
8+500.00
8+740.3
8+794.41

OBJAŚNIENIA:

2.80% - projektowana niweleta

- profile i etykiety projektowanych elementów konstrukcyjnych drogi

- powierzchnia terenu

7+527(4)/O/w.....
6+431(2)/2B-PZDd11/w.....
1+528(4)/4B-MG3/w...... - wykonane otwory badawcze

6+200(2)/O/w+(3)+(4)_DH
1+285(4)/MS-1/w_DH - archiwalne otwory hydrogeologiczne

7+527(4)/O/w - numer otworu
233.50 - rzędna terenu (m n.p.m.)

4.3 - zwierciadło swobodne (m p.p.t.)

5.9 4.4 - zwierciadło naporowe (m p.p.t.)

3.8 - sączenie (m p.p.t.)

Pd, Gp, Π - symbol gruntu

fSa,mSa - symbol gruntu zgodny z ISO

- granice stratygraficzne

- granice genetyczne

● - miejsce pobrania próbki kategorii B

A_{Mg}
Q_{pRTSa}
Q_{pGMCl}
N_{gMMCl} - symbol warstwy litologicznej

Wykresy sondowań

statycznego

dynamicznego

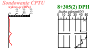

0 20 40 60

Inwestor:

Skarb Państwa - Generalny Dyrektor Dróg Krajowych
i Autostrad - działający przez Generalną Dyrekcję Dróg
Krajowych i Autostrad Oddział w Rzeszowie
35-959 Rzeszów ul. Legionów 20

Wykonawca:

PROMOST CONSULTING

ul. Jana Niemierskiego 4
35-307 Rzeszów

Podwykonawca:

GEO-MI Pracowania Geologiczna
Michał Małuszyński
ul. Grażyny 16, lok. 14, 93-309 Łódź

Zadanie inwestycyjne:

Budowa obwodnicy Kolbuszowej
w ciągu drogi krajowej DK9

Obiekt budowlany:

Droga krajowa nr 9 - obwodnica Kolbuszowej

Nazwa części opracowania:

STUDIUM GEOLOGICZNO-INŻYNIERSKIE

Tytuł rysunku:

Syntetyczny przekrój geologiczny
Wariant nr 3B - km 0+000 - 8+794

Funkcja:	Imię i Nazwisko:	Branża/nr uprawnień:	Podpis:
Geolog:	mgr Tomasz Piwowarski	geologia VII-1521	
Geolog:	mgr inż. Anna Rzempowska	geologia VII-1822	A. Rzempowska

Nr umowy:	Skala:	Data:	Stadium:	Branża:	Nr rysunku:
2413.21.2020 z dn. 12.04.2021	1:2000/200	MARZEC 2023	STEŚ-R Etap I	G	10.W3B.1